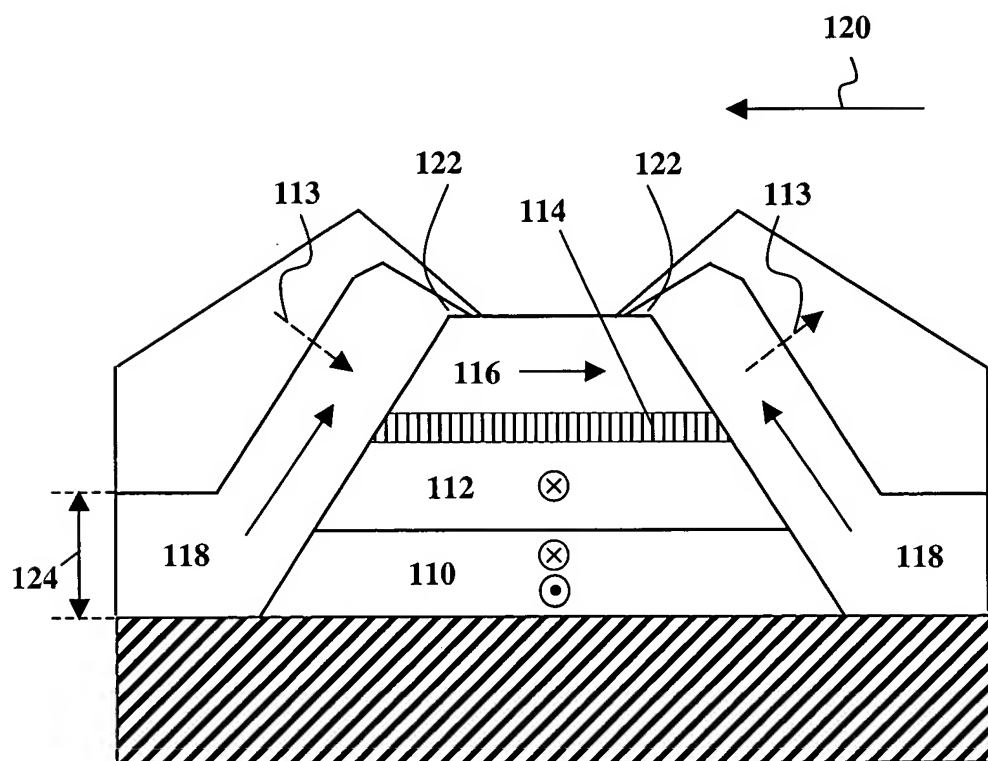
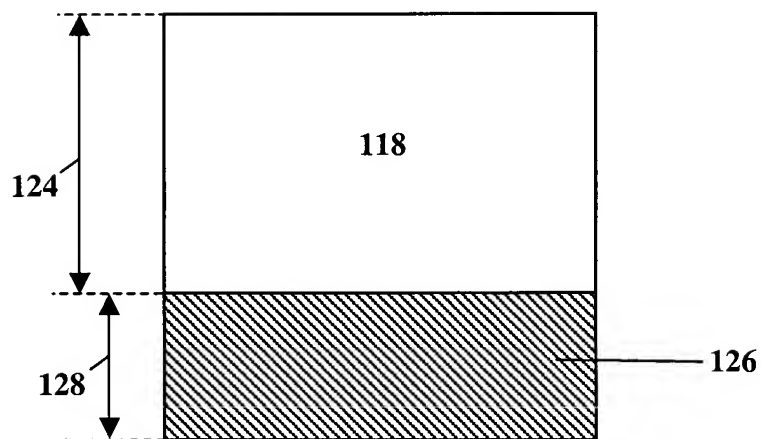


**1/13**  
**Marinero, et al.**  
**HSJ9-2003-0260-LN**



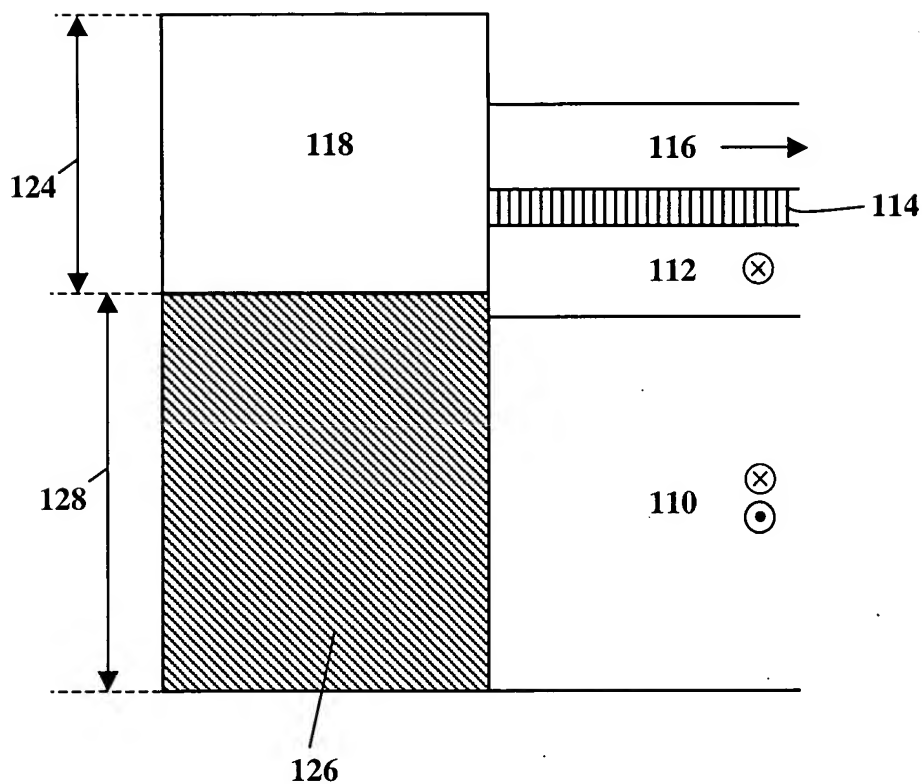
**Fig. 1**  
**(Prior Art)**

**2/13**  
**Marinero, et al.**  
**HSJ9-2003-0260-LN**



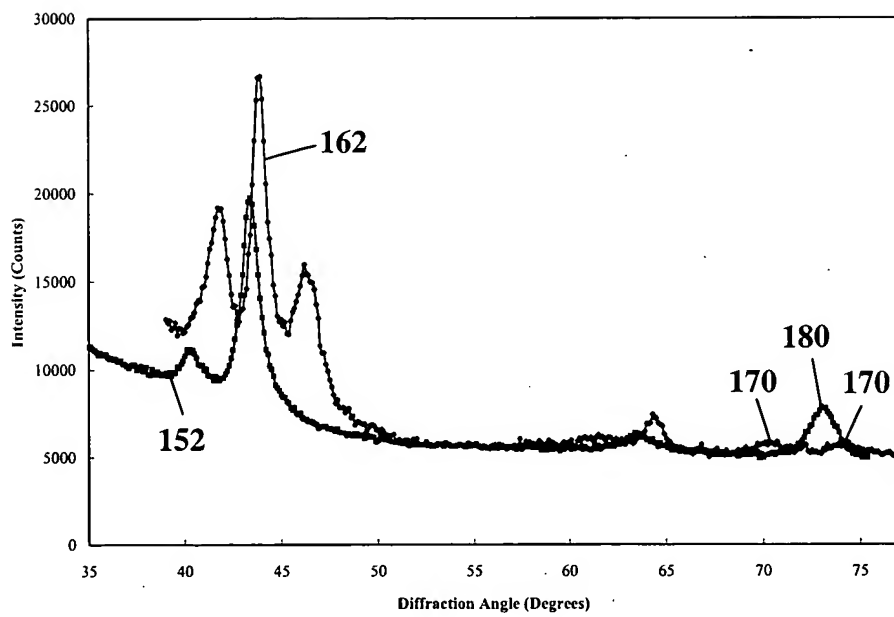
**Fig. 2**  
**(Prior Art)**

**3/13**  
**Marinero, et al.**  
**HSJ9-2003-0260-LN**



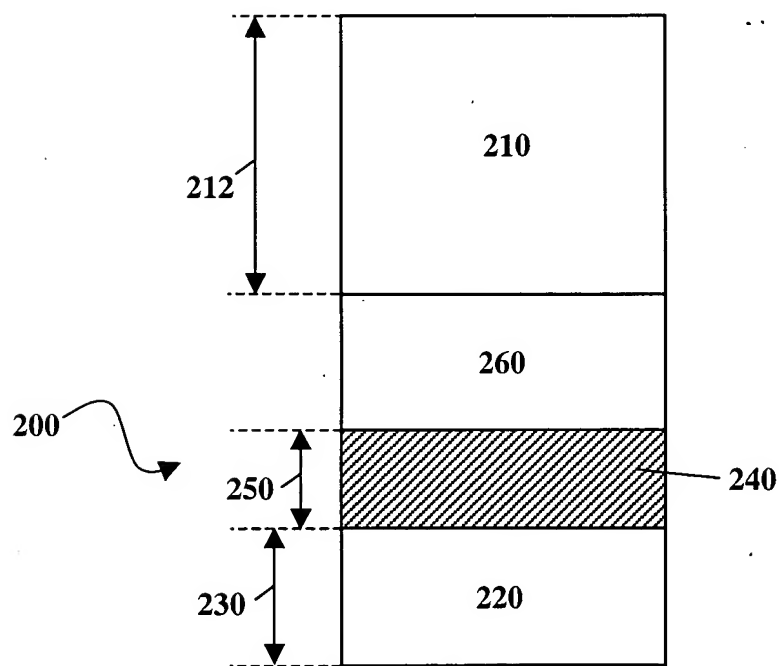
**Fig. 3**  
**(Prior Art)**

**4/13**  
**Marinero, et al.**  
**HSJ9-2003-0260-LN**



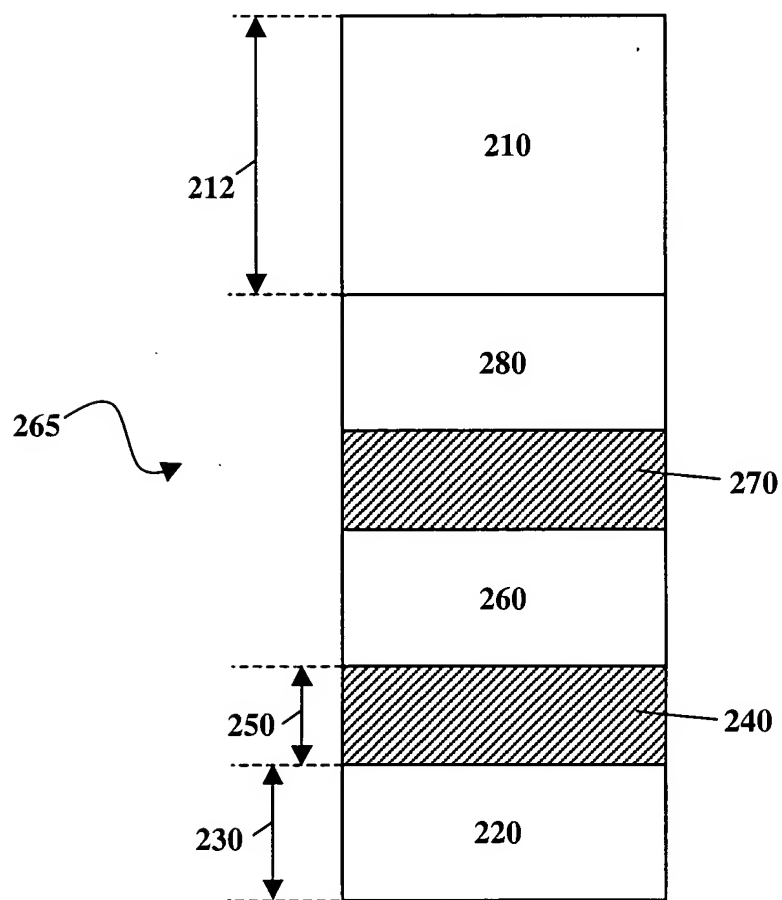
**Fig. 4**  
**(Prior Art)**

**5/13**  
**Marinero, et al.**  
**HSJ9-2003-0260-LN**



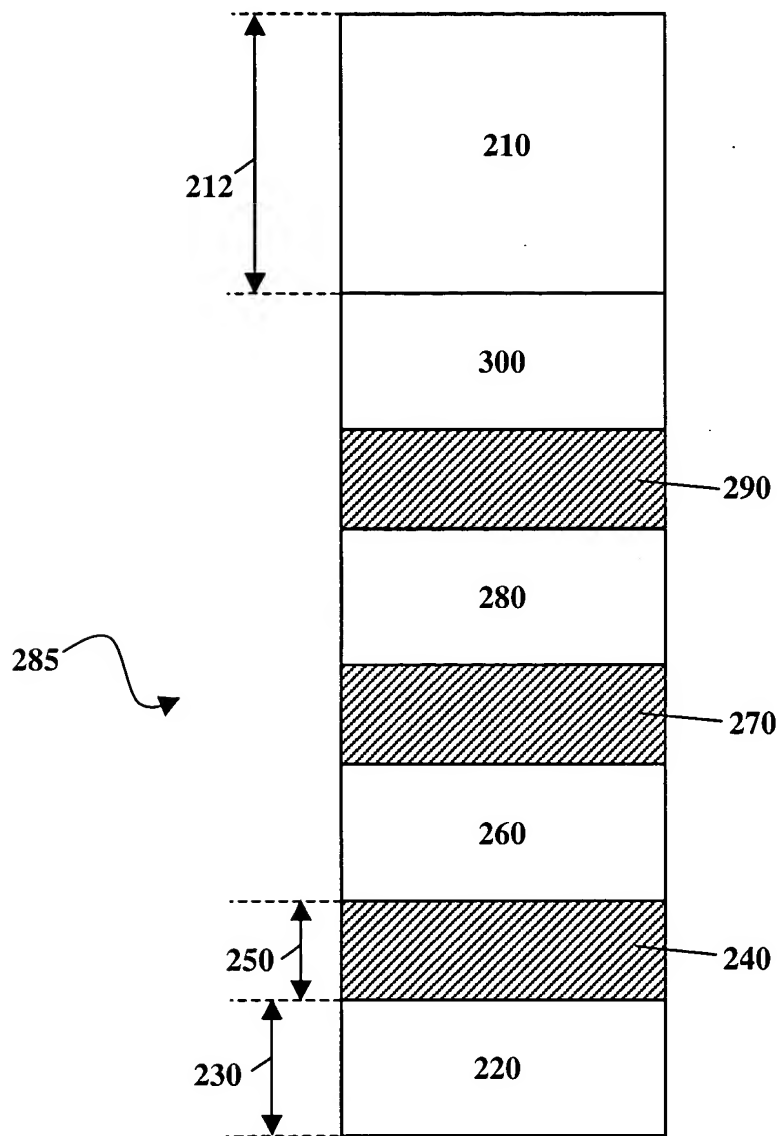
**Fig. 5**

**6/13**  
**Marinero, et al.**  
**HSJ9-2003-0260-LN**



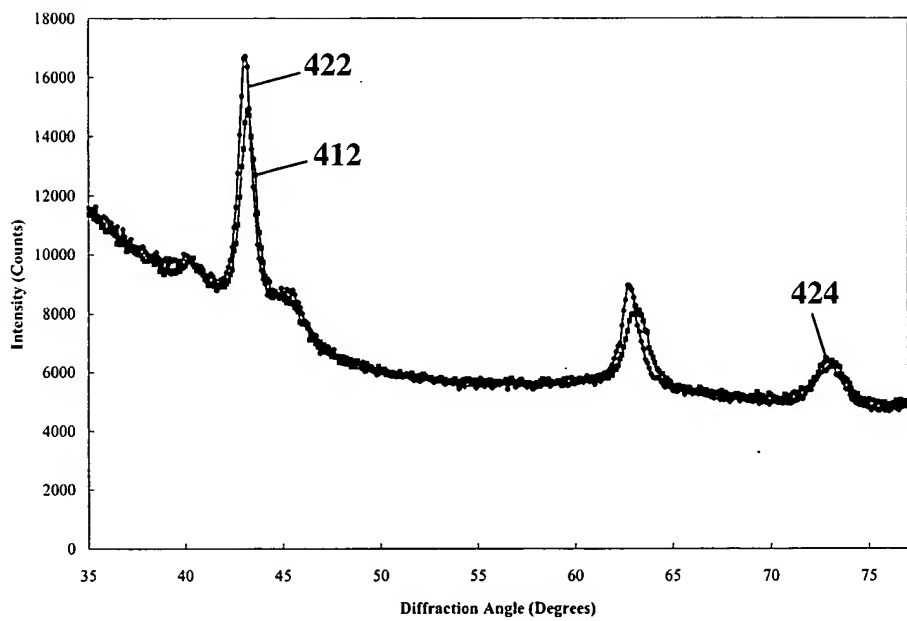
**Fig. 6**

**7/13**  
**Marinero, et al.**  
**HSJ9-2003-0260-LN**



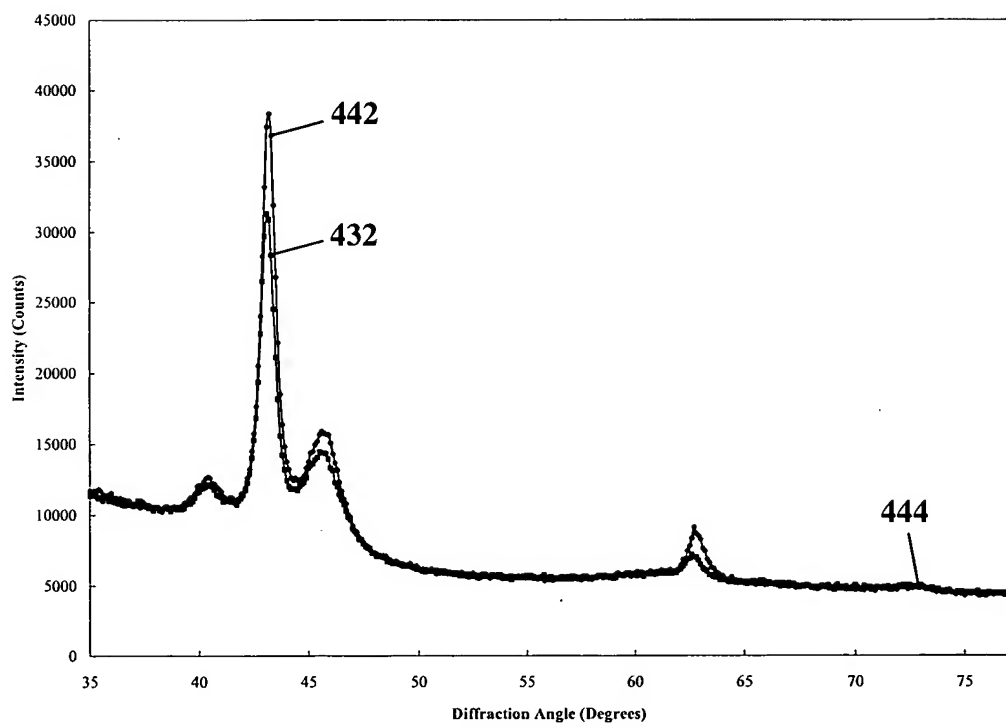
**Fig. 7**

**8/13**  
**Marinero, et al.**  
**HSJ9-2003-0260-LN**



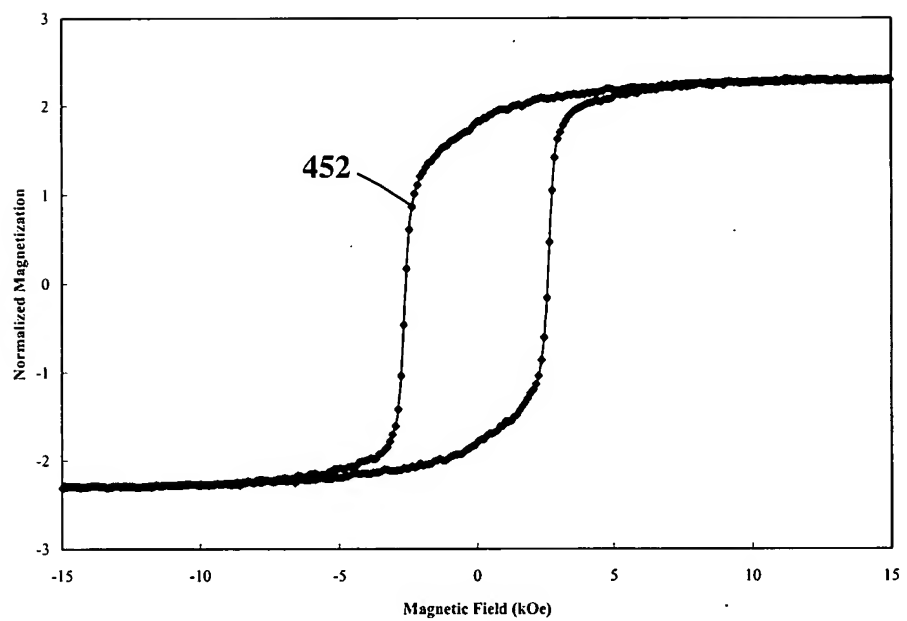
**Fig. 8**

**9/13**  
**Marinero, et al.**  
**HSJ9-2003-0260-LN**



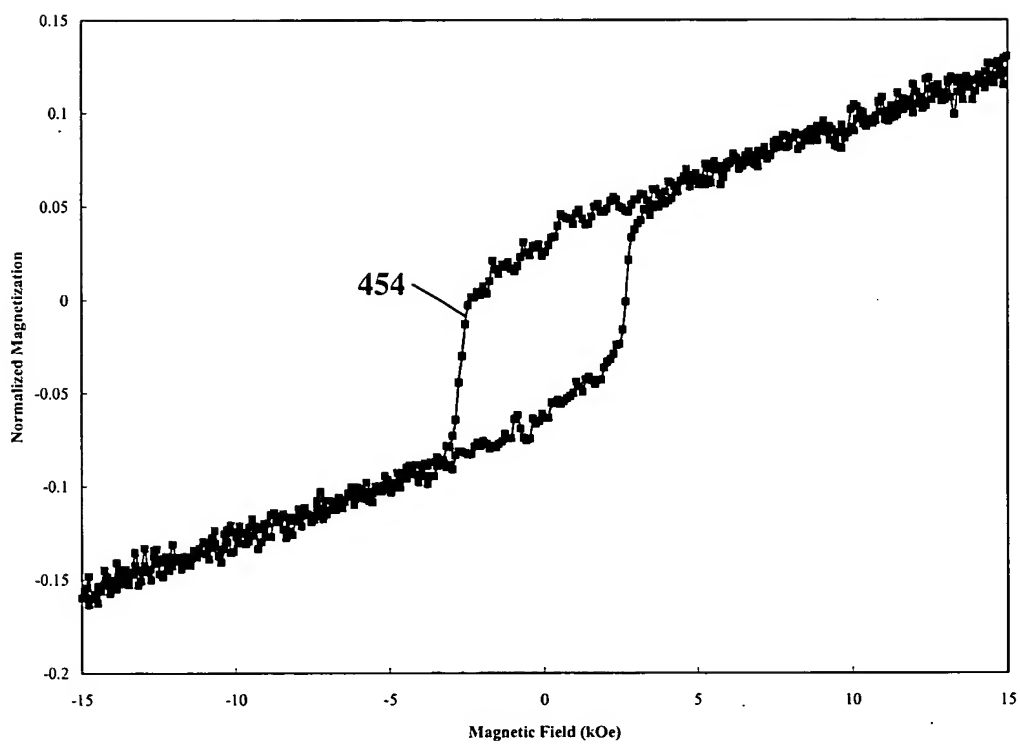
**Fig. 9**

**10/13**  
**Marinero, et al.**  
**HSJ9-2003-0260-LN**



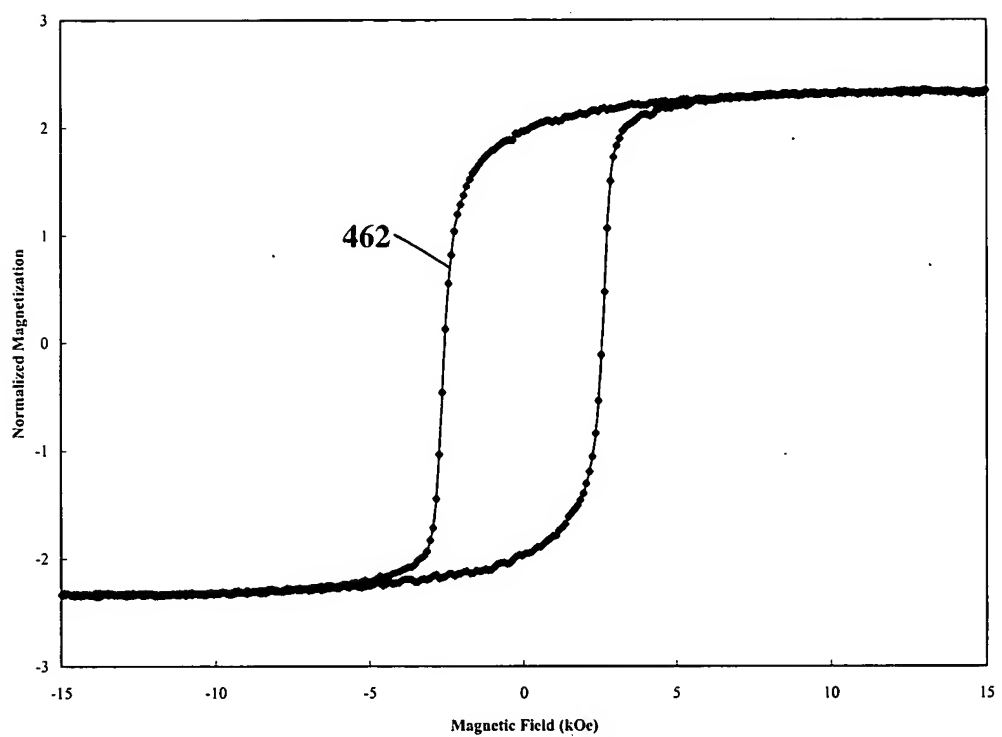
**Fig. 10a**

**11/13**  
**Marinero, et al.**  
**HSJ9-2003-0260-LN**



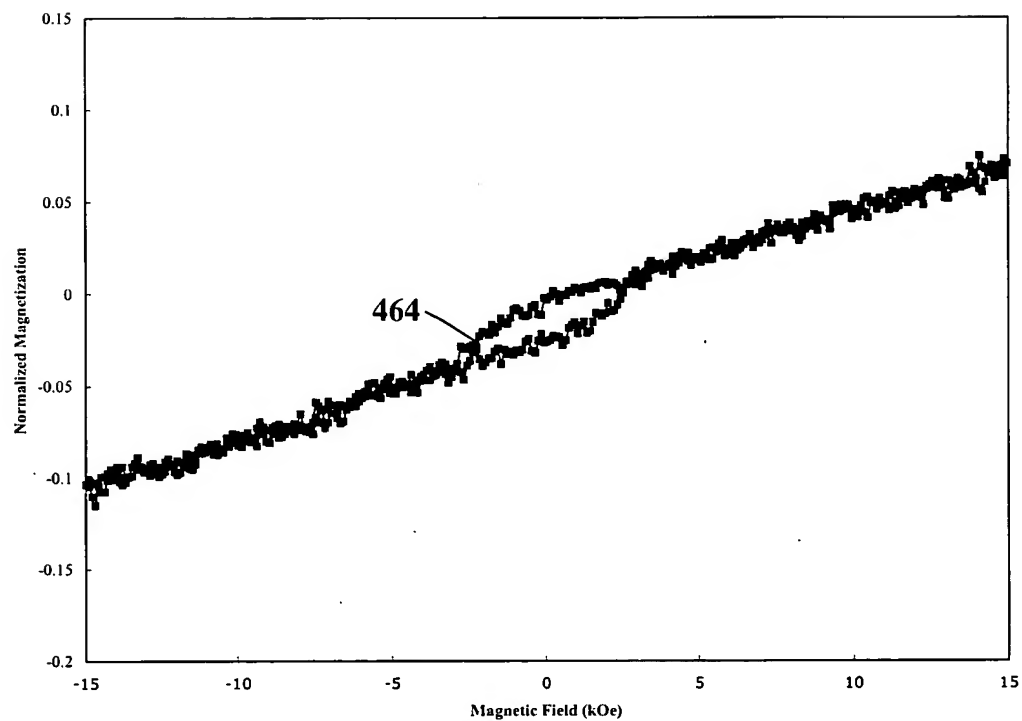
**Fig. 10b**

**12/13**  
**Marinero, et al.**  
**HSJ9-2003-0260-LN**



**Fig. 10c**

**13/13**  
**Marinero, et al.**  
**HSJ9-2003-0260-LN**



**Fig. 10d**